

آشکارسازی آسان و سریع آفت کش متیل پاراتیون به وسیله بسترهای انعطاف پذیر پلاسمونیکی

خلاصه

مقدمه: بهمنظور جلوگیری از کاهش تولید محصولات کشاورزی استفاده از آفت کش هایی مانند متیل پاراتیون رو به رشد است. باقیمانده متیل پاراتیون بروی محصولات کشاورزی نگرانی هایی را به دنبال دارد. بنابراین شناسایی و تعیین مقدار متیل پاراتیون باقیمانده بروی محصولات کشاورزی ضروری است. در این مطالعه بسترهای انعطاف پذیر پلاسمونیکی با استفاده از نانوذرات طلا ساخته شدند تا به راحتی با چسبیدن متیل پاراتیون باقیمانده روی محصولات کشاورزی (سیب) بروی آنها و با استفاده از طیف سنج رامان شناسایی و تعیین غلظت آنها را انجام داد.

روش بررسی: با استفاده از نمک طلا و عامل کاهنده تری سدیم سیترات دوآبه، نانوذرات طلا به روش ساده شیمیایی ساخته شدند و به روش قطره افشاری با چکاندن محلول کلوبیدی طلا بروی چسب دوطرفه، بسترهای انعطاف پذیر پلاسمونیکی ساخته شدند. با استفاده از این بسترهای طیف سنجی رامان، ارتعاش های مولکولی آفت کش متیل پاراتیون باقیمانده بروی سطح میوه های سیب اندازه گیری و بررسی شدند.

یافته ها: در این مطالعه تجربی، تصویر میکروسکوپ الکترونی عبوری نشان می دهد تعداد زیادی از ذرات طلا اندازه ۱۵ نانومتر دارند. داده طیف پراکندگی دینامیکی نور (DLS) نشان می دهد که ذرات کوچک تر تا اندازه حدود ۵ نانومتر و ذرات بزرگ تر تا اندازه حدود ۵۱۹ نانومتر نیز ساخته شده اند. با مشاهده قله پلاسمونی ذرات ساخته شده در حدود ۵۱۹ نانومتر و مشاهده ساختار FCC در مشخصه یابی XRD، ساخت نانوذرات طلا تأیید شد. تصویر میکروسکوپ الکترونی گسیل میدانی (FESEM) بسترهای انعطاف پذیر پلاسمونیکی نشان می دهد که ترکهای می توانند مراکزی برای پراکندگی نور باشند. زیری که برای بسترهای انعطاف پذیر پلاسمونیکی در تصویر میکروسکوپ نیروی اتمی (AFM) مشاهده می شود، به پراکندگی نور از نقاط زیر کمک می کند. با چسباندن بسترهای انعطاف پذیر پلاسمونیکی بروی میوه سیب، باقیمانده آفت کش متیل پاراتیون روی میوه سیب به بستر پلاسمونیکی منتقل می شود که در نتیجه طیف رامان ارتعاشات مولکولی متیل پاراتیون به دلیل تشدید پلاسمون های سطحی نانوذرات کوچک تر و پراکندگی نور از نقاط زیر و ترکهای روی بستر

وحید اسکندری^۱

فیضه شریفی^۲

۱. کارشناسی ارشد، پژوهشکده علوم و فناوری نانو، دانشگاه کاشان، کاشان، ایران

۲. استادیار، گروه فوتونیک و پلاسما، دانشکده فیزیک، دانشگاه کاشان، کاشان، ایران

انعطاف‌پذیر پلاسمونیکی تقویت می‌شوند و شدت طیف SERS در مقایسه با شدت طیف رامان آن‌ها افزایش قابل ملاحظه‌ای می‌یابد.

نتیجه‌گیری: بسترها انعطاف‌پذیر پلاسمونیکی ساخته شده به‌وسیله چسب دوطرفه و محلول کلوئیدی طلا، بهدلیل تشید پلاسمون‌های سطحی نانوذرات طلا و پراکندگی نور از ترکهای ایجادشده روی بستر و زبری لایه ایجادشده، سیگنال رامان ارتعاش‌های مولکولی آفت‌کش متیل‌پاراتیون باقیمانده برروی میوه سیب را تقویت می‌کند. بنابراین، با استفاده از این بسترها به راحتی آفت‌کش متیل‌پاراتیون از سطح محصول کشاورزی به سطح بستر منتقل می‌شود و آشکارسازی سریع و راحت غلظت‌های مختلف قابل انجام است. از طرفی با کالیبراسیون انجام‌شده، با اندازه‌گیری طیف SERS، می‌توان غلظت متیل‌پاراتیون باقیمانده برروی محصول کشاورزی را با استفاده از شدت سیگنال رامان به دست آورد.

واژه‌های کلیدی: نانوذرات طلا، متیل‌پاراتیون، طیف‌سنجی رامان بهبود یافته سطحی (SERS)، روش قطره‌افشان، بستر انعطاف‌پذیر پلاسمونیکی

1. Surface-enhanced Raman Spectroscopy

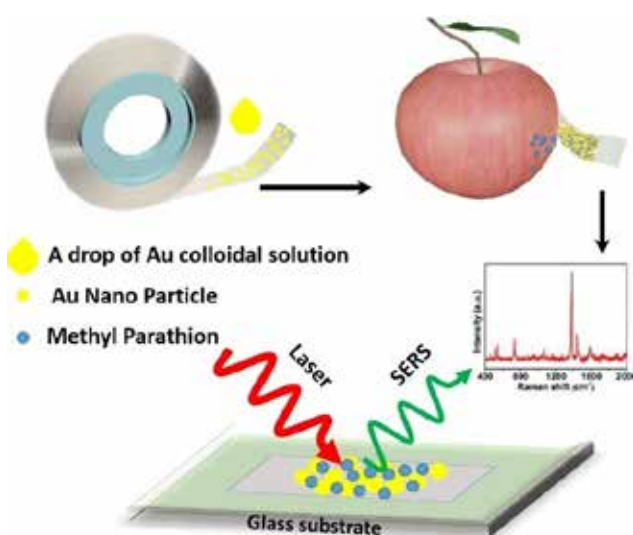
نویسنده‌مسئول: نفیسه شریفی، تلفن: ۰۳۱۵۵۹۱۲۲۰، پست الکترونیک: sharifi@kashanu.ac.ir

مقدمه

به علت سمتی زیاد برای انسان و حیوانات اهلی بهخصوص زنبور عسل محدود گردیده است اما، این حشره‌کش برای مبارزه با شته‌ها بهخصوص آن‌هایی که پیچیدگی در برگ‌ها ایجاد می‌کنند، بسیار مناسب است. تحقیقات نشان داده است که می‌تواند باعث بروز بیماری‌های مختلفی از جمله سردرد، تنگی نفس و مسمومیت شدید شود.^۲ آفت‌کش متیل‌پاراتیون به صورت محلول در آب و به صورت اسپری روی محصولات کشاورزی پاشیده می‌شود و به مدت دو هفته می‌تواند برروی محصولات کشاورزی باقی بماند. کنترل باقیمانده سموم در مواد غذایی به دلایل پیامدهای بهداشتی و اقتصادی ضرورت دارد تا بقایای سموم در مواد غذایی پایش شود. در حال حاضر، برای تعیین بقایای آفت‌کش‌ها در محصولات کشاورزی روش‌های متعددی^[۲] مانند کروماتوگرافی گازی و اسپکترومتری جرم (GC/MS)^[۳-۴]، کروماتوگرافی مایع با کارآیی بالا (HPLC)^[۵]، اسپکترومتریک^[۶]، الکتروشیمیایی^[۷] و طیف‌سنجی تبدیل فوریه رامان (FT-Raman)^[۸-۱۰] به کار برده می‌شود. این روش‌ها، روش‌هایی مخرب، دشوار، آلاینده، درون آزمایشگاهی، و نیازمند آماده‌سازی نمونه، نیروی متخصص آموزش دیده، آزمایشگاه‌های مجهز و صرف وقت و هزینه بسیار هستند. طیف‌سنجی‌های مبتنی بر الکترون و یون نیز به خلاً بالا نیاز دارند. از این‌رو، توسعه یک روش غیرمخرب با کاربری ساده، سریع، کم‌هزینه، ناآلاینده، با قابلیت حمل و کاربرد خارج از محیط آزمایشگاه و نیاز به آماده‌سازی کم‌تر نمونه بسیار ضروری است. از طرفی شناسایی و تشخیص مقادیر بسیار اندک از سموم نیز مورد توجه

امروزه، به منظور دفع آفات گیاهی، تأمین غذا و جلوگیری از کاهش تولید، مصرف سوموم شیمیایی که از مهم‌ترین علتهای آلودگی مواد غذایی و محیط زیست است، افزایش یافته است. ایجاد آفات با نژادهای مقاوم در برابر آفت‌کش‌های شیمیایی، از بین رفتن حشرات مفید و دشمنان طبیعی آفات، اثر مخرب برروی موجودات زنده و افرادی که در تماس مستقیم با آن‌ها هستند، کاهش تنوع زیستی و مصرف انرژی در تولید و مصرف آفت‌کش‌های شیمیایی از جمله مهم‌ترین مشکلات زیست‌محیطی ناشی از واستگی کشاورزی به آفت‌کش‌های شیمیایی است. سم‌پاشی‌های مکرر، استفاده نابجا و بیش از حد آفت‌کش‌ها، به کارگیری سموم غیر مجاز، عدم توجه به دوره سموم، برداشت زودهنگام محصولات سم‌پاشی شده و ارائه آن‌ها به بازار و مصرف این محصولات در مدت زمان کوتاهی پس از سم‌پاشی، منجر به افزایش باقیمانده سموم در آن‌ها می‌شود که مخاطرات جدی برای سلامت مصرف‌کننده در پی دارد. از یک طرف مزارع، باغات، سیزیجات و میوه‌جات به طور مداوم در معرض خطر آفات و بیماری‌ها و علف‌های هرز مختلف قرار دارند که مصرف آفت‌کش‌های شیمیایی مختلف را امری اجتناب‌ناپذیر می‌نماید اما، به دلیل مشکلات زیست‌محیطی و تبعات ناشی از بقایای سموم در غذای مصرف‌کنندگان، کاهش استفاده از سموم مورد توجه قرار گرفته است. آفت‌کش متیل‌پاراتیون (C₈H₁₀NO₅PS) یکی از سموم گروه ارگانوفسفره است که به عنوان حشره‌کش در مزارع کشاورزی استفاده می‌شود.^[۱۰-۲] هرچند در ایران، مصرف متیل‌پاراتیون چند سالی است

اضافه شد که کلوئید ارغوانی رنگ نهایی حاوی نانوذرات طلا است. سپس ۱۰۰ میکرولیتر از این محلول کلوئیدی بر روی بسترهای چسب دو طرفه شفاف که همان بستر انعطاف‌پذیر است، پخش و در دمای آزمایشگاه خشک شدند. در ادامه، قطعات شیشه‌ای با ابعاد $2\text{cm} \times 2\text{cm}$ پس از شستشو با شوینده و آب، با استون شستشو داده شدند که همزمان از امواج فراصوت نیز استفاده شد. پس از خشک شدن این قطعات شیشه‌ای، در دمای 40°C درجه سانتی‌گراد به مدت ۳۰ دقیقه در کوره حرارتدهی شدند تا آلدگی‌های آلی نیز از سطح شیشه حذف و سطح آنها آب دوست شوند. بسترهای انعطاف‌پذیر به وسیله چسبی که دارند، بر روی بسترهای شیشه‌ای جهت اندازه‌گیری و حمل راحت‌تر چسبانده شدند تا حسگر زیستی SERS آماده شود. به هدف آشکارسازی آفتکش متیلپاراتیون، ابتدا غلظت $M/10$ از آن با استفاده از با حلal آب بدون یون (DI) ساخته شد و سپس غلظت‌های 2^{-10} ، 3^{-10} ، 4^{-10} و 5^{-10} مولار با استفاده از آن تهیه شد. جهت تشخیص متیلپاراتیون روی میوه سیب (خریداری شده از سوپرمارکت محل)، ابتدا میوه‌های سیب به صورت کامل با آب DI شسته شدند. سپس در محیط آزمایشگاه قرار داده شدند تا به صورت کامل خشک شوند. در ادامه، غلظت‌های مختلف تهیه شده از آفتکش متیلپاراتیون به صورت جداگانه روی هر کدام از میوه‌ها با استفاده از دستگاه اسپری پخش شد و به مدت ۱ ساعت در محیط آزمایشگاه خشک شدند، پس از خشک شدن، قطعه کوچکی با حدود $2\text{cm} \times 2\text{cm}$ از پوست نمونه‌ها برش داده شد و به مدت ۱۰ ثانیه روی SERS حسگر زیستی SERS فشار داده شدند و در ادامه طیف رامان و نمونه‌های ساخته شده بررسی شدند. (شکل ۱) طرح‌واره‌ای از ستر



شکل ۱: طرح‌واره‌ای از ساخت بستر انعطاف‌پذیر پلاسمونیکی فعال در SERS با پوشش‌دهی چسب دوطرفه با نانوذرات طلا ساخته شده و نحوه قرار دادن آفتکش متیلپاراتیون از سطح پوست میوه (سیب) با چسباندن بستر انعطاف‌پذیر پلاسمونیکی روی محصول آغشته به متیلپاراتیون جهت آشکارسازی آن

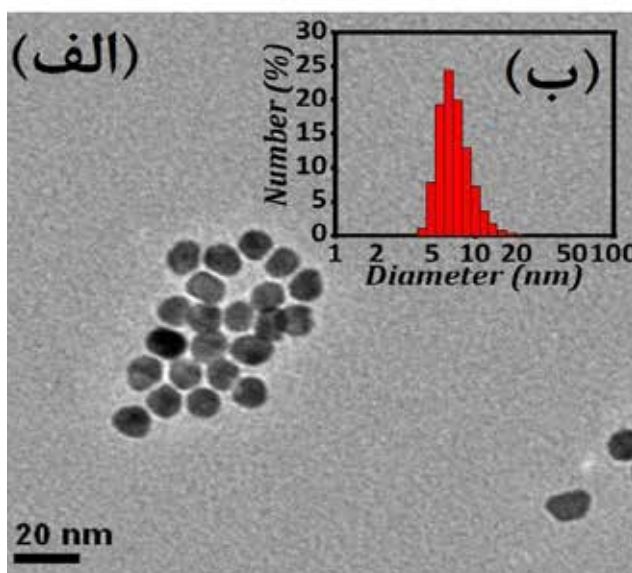
است. با استفاده از طیفسنجی زیرقرمز و طیفسنجی رامان که هر دو طیفسنجی اثر انگشتی محسوب می‌شوند و ارتعاش‌های مولکولی ماده را بررسی می‌کنند، می‌توان مواد و آنالیت‌های بیولوژیکی و سموم را شناسایی کرد [۱۱ و ۱۲]. در طیفسنجی زیرقرمز به دلیل فعل بودن ارتعاش‌های مولکولی آب، شناسایی گونه‌های زیستی دشوار است و حساسیت آشکارسازهای آن نیز پایین است. در طیفسنجی رامان نیز به دلیل ضعیف بودن ذاتی سیگنال حاصل از پراکندگی رامان، مطالعه مولکول‌ها با غلظت‌های اندک عملً امکان‌پذیر نیست [۱۳]. یکی از روش‌هایی که می‌توان سیگنال رامان را بهبود داد، استفاده از نانوساختارهای فلزی است که به دلیل تشدید پلاسمون‌های سطحی می‌توانند میدان الکتریکی قوی را در نزدیک نانوساختارها ایجاد کنند یا با افزایش میزان پراکندگی نور از این نانوساختارها، سیگنال پراکندگی را به طور مؤثر بهبود می‌دهند که به دنبال آن ارتعاش‌های مولکولی با سیگنال بهتر و بیشتر مشاهده خواهد شد. این روش طیفسنجی رامان بهبود یافته سطحی (SERS) نام دارد که یک روش حساس و انتخابی است که نتیجه آن بهبود پراکندگی رامان مولکول‌هایی است که بر روی ساختارهای فلزی جذب سطحی شده‌اند [۱۴]. در واقع، با تابش نور (لیزر) به سطح ناصاف فلزی، در اثر تشدید پلاسمون‌های سطحی نانوساختارهای فلزی به وسیله میدان الکترومغناطیسی لیزر، میدان‌های الکتریکی بهبود یافته در اطراف فلز ایجاد می‌شود [۱۵ و ۱۶]، گویی میدان الکتریکی حاصل از تابش نور لیزر تقویت شده است. بنابراین، مولکولی که در این میدان الکتریکی بهبود یافته قرار می‌گیرد، بیشتر قطبیده می‌شود و درنتیجه سیگنال رامان آن بهبود می‌یابد [۱۷]. در این روش، هنگامی که آنالیت‌های مورد مطالعه در نزدیک سطح فلز قرار می‌گیرند یا به طور فیزیکی جذب نانوذرات فلزی می‌شوند، به علت برهم‌کنش آنالیت‌ها و پلاسمون‌های سطحی فلز، شدت سیگنال رامان افزایش می‌یابد و بدین ترتیب SERS می‌تواند برای تشخیص سریع و دقیق آنالیت‌های میکروبیولوژیکی و آفتکش‌ها استفاده شود. در این مطالعه به هدف طراحی و ساخت حسگر ساده با سرعت تشخیص بالا، حساسیت، گزینش‌پذیری، تکرارپذیری و عدم نیاز به تجهیزات پیچیده، ابتدا نانوذرات طلا با استفاده از روش ساده شیمیایی با عامل کاهنده تری‌سدیم‌سیترات ساخته شدند و سپس بر روی بسترهای چسب‌های دوطرفه قرار گرفتند تا بسترهای انعطاف‌پذیر پوشش داده شده با طلا به عنوان بسترهای فعل در SERS برای تشخیص و تعیین غیرمخرب باقی‌ماند 5 nm متیلپاراتیون موجود محصولات کشاورزی استفاده شود.

روش بررسی

روش ساخت بسترهای انعطاف‌پذیر پلاسمونیکی

ابتدا به منظور ساخت نانوذرات طلا به 20 میلی‌لیتر محلول 1 mM نمک طلای HAuCl_4 در حال جوش و هم خوردن، 2 میلی‌لیتر محلول $(\text{NaC}_6\text{H}_5\text{O}_7 \cdot \text{H}_2\text{O})_{3/8}\text{ mM}$

را نشان می‌دهد. قلهٔ تشدید پلاسمونی در طول موج ۶۲۳ نانومتر حضور نانوساختارهای طلا را بروی بسترهاي انعطاف‌پذير چسب دوطرفة شفاف نشان می‌دهد. مشاهده يك قلهٔ جذبي در طيفهای جذبي نانوذرات پلاسمونيك مانند طلا و نقره بيانگر کروي يا شبکه کروي بودن نانوذرات است[۱۹] که در تصاویر TEM نيز کروي بودن ذرات مشاهده شد. همان‌طور که مشاهده می‌شود با نشاندن نانوذرات طلا بروی بسترهاي انعطاف‌پذير، با تغيير محيط دربردارنده اين ذرات که از آب به فصل مشترك هوا و چسب، قلهٔ پلاسمونی جابه‌جايی را تجربه می‌کند و ارتفاع آن کاهش و پنهانی قلهٔ نيز افزایش می‌يابد. افزایش پنهانی قلهٔ پلاسمونی می‌تواند بدليل تجمع نانوذرات و تشکيل ذرات بزرگ‌تر بروي سطح باشد[۲۰]. برخلاف محلول کلوئيدی پايدار که نانوذرات طلا در داخل محلول آبی پراكنده هستند و به فاصله‌های مشخصی از يكديگر قرار دارند، با قرار گرفتن نانوذرات طلا روی سطح، حين خشك شدن، ذرات در مجاورت يكديگر قرار می‌گيرند و کلوجهایی مشکل از چندين نانوذره روی سطح شکل می‌گيرد به گونه‌ای که می‌توان اين کلوجهه‌ها را ذرات بزرگ‌تری در نظر گرفت که منجر به افزایش پنهانی طيف می‌شود[۲۰]. اين که زمينه طيف خاموشی (طيف جذب + طيف پراكندگی) بستر پلاسمونيك در مقاييسه با طيف جذب محلول کلوئيدی در مقادير بالاتری رخ داده است، ناشی از بازتاب و پراكندگی نور از سطح بسترهاي انعطاف‌پذير است. شکل ۲-ج، الگوي پراش اشعه ایکس نانوذرات طلا است که با مشاهده بزرگ‌ترین و اصلی‌ترین قله‌ها در زاويه ۲θ برابر با ۴۵/۵۲، ۳۸/۳۸، ۶۴/۸۹ و ۷۷/۸۳ درجه که به ترتیب مربوط به صفحات بلوری (۱۱۱)، (۲۰۰)، (۳۱۱) و (۲۲۰) است، ساختار FCC طلا را تأييد می‌کند.



شکل ۲: (الف)، تصویر TEM نانوذرات طلا، ساخته شده به روش شيميايی و با عامل کاهنده محلول ترى سديم سيرات دوآبه و (ب)، نمودار توزيع اندازه نانوذرات طلا که با استفاده از DLS اندازه گيري شده است.

انعطاف‌پذير پلاسمونيكی زيسطي SERS و نحوه خارج‌سازی آفت‌کش متيل‌پاراتيون از سطح پوست ميوه (سيب) جهت آشكاري‌سازی مادة آفت‌کش متيل‌پاراتيون را نشان می‌دهد که با تابش نور ليزر با طول موج ۷۸۵ نانومتر، سينگال نور رامان پراكنده شده اندازه گيري می‌شود. درادمه، روش ساخت حسگر انعطاف‌پذير پلاسمونيكی زيسطي، قرار دادن آفت‌کش متيل‌پاراتيون روی آن و نتایج طيف رامان ارائه می‌شود.

مشخصه‌های بازي

دستگاه ميكروسكوب الکتروني عبوری (TEM)، زايس مدل EM900، دستگاه پراكندگي ديناميكي نور (DLS)، مدل Zetasizer Nano-ZS ساخت شركت مالورن-انگلستان، طيف‌سنجي UV-Vis و الگوي پراش پرتوی X پودر طلا به ترتيب به وسیله دستگاه Perkin-Elmer مدل Panalytical X Pert-Pro و دستگاه Lambda25 کشور هلند، با پرتوی تک فام Cu K α با طول موج ۱۵۴ نانومتر، جريان ۴۰ ميلى‌آمپر و با ولتاژ ۴۰ کيلولوت در دمای اتفاق انجام شد. تصاویر ميكروسكوب الکتروني گسیل ميداني (FESEM) به وسیله دستگاه Hitachi S4160 و تصویر ميكروسكوب نيروي اتمي (AFM) نمونه‌ها نيز با استفاده از دستگاه شركت نانوسيستم پارس ساخت ايران Metrohm بررسی شد. دستگاه طيف‌سنجي رامان دستگاه رامان Raman MIRA مدل ۷۸۵ نانومتر و توان خروجي قابل تنظيم ۷۵ Nd:YAG ميلى‌وات برای اندازه گيري طيف رامان و طيف SERS نمونه‌ها استفاده شد.

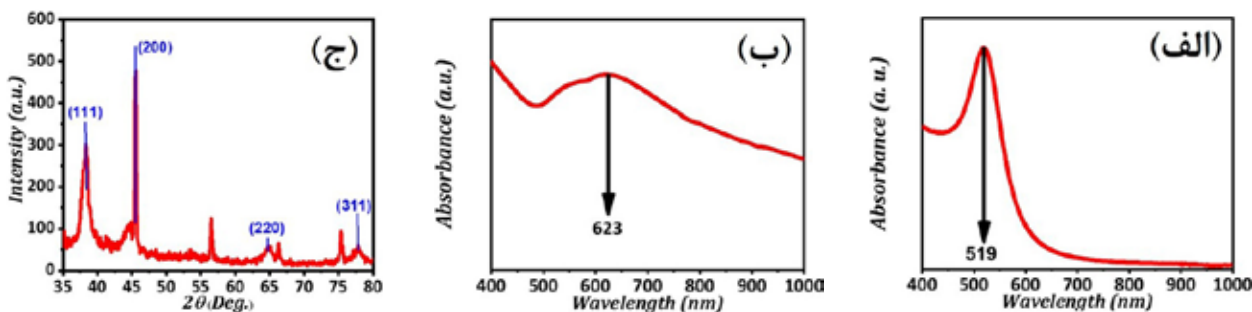
ياتهه‌ها

تصویر TEM و توزيع اندازه نانوذرات طلا اندازه گيري شده به وسیله آناليز DLS

شکل ۲-الف، تصویر نانوذرات طلا ساخته شده در حضور عامل کاهنده ترى سديم سيرات دوآبه را با استفاده از ميكروسكوب الکتروني عبوری نشان می‌دهد. همان‌طور که در تصویر مشخص است، نانوذرات طلا به شکل کروي و شبکه کروي هستند که به طور متوسط اندازه ۱۵ نانومتر دارند. شکل ۲-ب، توزيع اندازه ذرات طلا را نشان می‌دهد که اندازه‌های بين ۴ تا ۳۰ نانومتر دارند و تعداد ذرات با اندازه ۶ و ۷ نانومتر بيشتر از سایر اندازه‌های نانوذرات است.

طيف جذب محلول کلوئيدی طلا، طيف خاموشی بستر پلاسمونيكی و الگوي XRD نانوذرات طلا

شکل ۳-الف، طيف جذب نانوذرات طلا ساخته شده به روش شيميايی با عامل کاهنده ترى سديم سيرات دوآبه را نشان می‌دهد. ظاهر شدن قلهٔ تشدید پلاسمونی در ۵۱۹ نانومتر، تشکيل نانوذرات طلا را تأييد می‌کند[۱۸]. شکل ۳-ب، طيف جذب بستر انعطاف‌پذير پلاسمونيكی



شکل ۳: (الف)، طیف جذب محلول کلوریدی شامل نانوذرات طلا با بیشینه جذب در طول موج ۵۱۹ نانومتر، (ب)، طیف خاموشی بستر انعطاف‌پذیر پلاسمونیکی با بیشینه جذب در طول موج ۶۲۳ نانومتر و (ج)، الگوی پراش اشعة ایکس نانوذرات طلا

آمد. زیری سطحی که به وسیله نانوذرات طلا روی بسترهای انعطاف‌پذیر ایجاد شده است، می‌تواند مرکزی برای پراکندگی نور باشد و باعث تقویت سیگنال رامان شود [۱۹].

طیف رامان و آشکارسازی آفتکش متیلپاراتیون

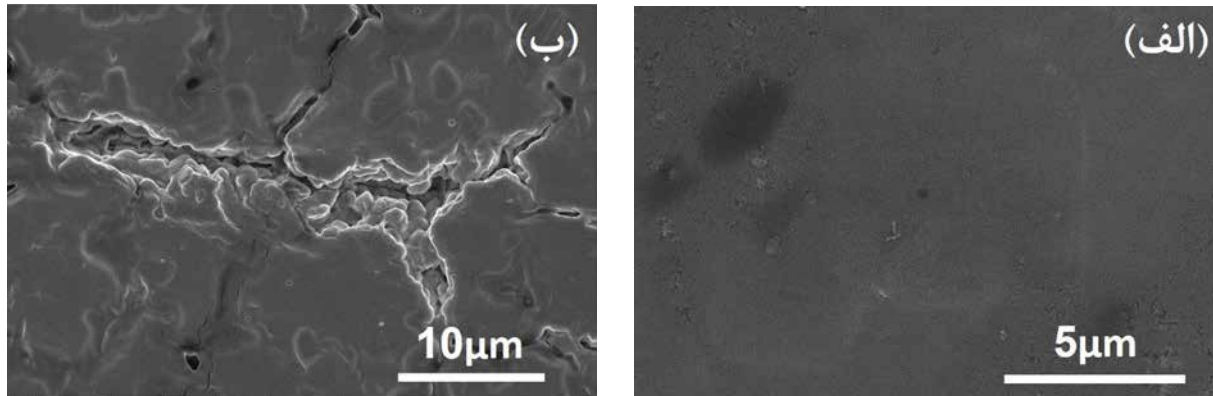
طیف رامان بستر انعطاف‌پذیر پلاسمونیکی (چسب دوطرفه پوشیده شده با نانوذرات طلا) و طیف رامان آفتکش متیلپاراتیون با غلظت 2×10^{-10} مولار بر روی بستر انعطاف‌پذیر (چسب دوطرفه بدون پوشش طلا) به ترتیب با منحنی آبی و قرمز در شکل ۶-الف مشاهده می‌شوند. در هر دو منحنی، قله تیز و بزرگی که در حدود 1400 cm^{-1} مشاهده می‌شود مربوط به ارتعاش‌های مولکولی مواد سازنده چسب است. از آن جایی که برای شناسایی غلظت‌های مختلف متیلپاراتیون، بسترهای انعطاف‌پذیر پلاسمونیکی (منحنی آبی) به کار برده می‌شود، این منحنی به صورت پس‌زمینه در طیف SERS غلظت‌های مختلف متیل‌پاراتیون مشاهده خواهد شد. چنانچه متیلپاراتیون بر روی بستر انعطاف‌پذیر غیرپلاسمونیکی قرار داده شود، در طیف رامان آن (منحنی قرمز شکل ۶-الف)، ارتعاش‌های مولکولی واضحی مشاهده نمی‌شود اما، با قرار دادن 2×10^{-10} مولار متیلپاراتیون بر روی بستر انعطاف‌پذیر پلاسمونیکی، ارتعاش‌های مولکولی آن در طیف SERS مشاهده می‌شود (شکل ۶-ب). بنابراین عملاً شناسایی آفتکش

تصویر FESEM بستر انعطاف‌پذیر پلاسمونیکی

در شکل ۴-الف تصویر FESEM بسترهای انعطاف‌پذیر (چسب دوطرفه) مشاهده می‌شود که پوششی یکنواخت روی آن مشاهده می‌شود. شکل ۴-ب، تصویر بسترهای انعطاف‌پذیر پلاسمونیکی را نشان می‌دهد. ترک‌هایی که مشاهده می‌شود ناشی از خشک شدن لایه‌ای است که به روش قطره‌چکانی روی چسب دوطرفه قرار داده شده است که به علت فرآیند تبخیر آب ایجاد می‌شوند. در مرز ترک‌ها، نانوساختارهای طلا که به صورت کلوخه‌ایی از نانوذرات طلا هستند، مشاهده می‌شود. ترک‌ها می‌توانند مرکزی برای پراکندگی نور باشند. نانوذرات پلاسمونیکی کوچک‌تر میدان‌های الکتریکی نزدیک قابل توجهی ایجاد می‌کنند که حاصل تشید پلاسمون‌های سطحی طلا است و نانوذرات بزرگ‌تر، میدان‌های الکتریکی نزدیک ناچیز دارند و نور تابیده شده به آن‌ها از سطح آن‌ها پراکنده می‌شود یا میدان الکتریکی دور را تقویت می‌کنند [۲۱ و ۲۲].

تصویر AFM بستر انعطاف‌پذیر پلاسمونیکی

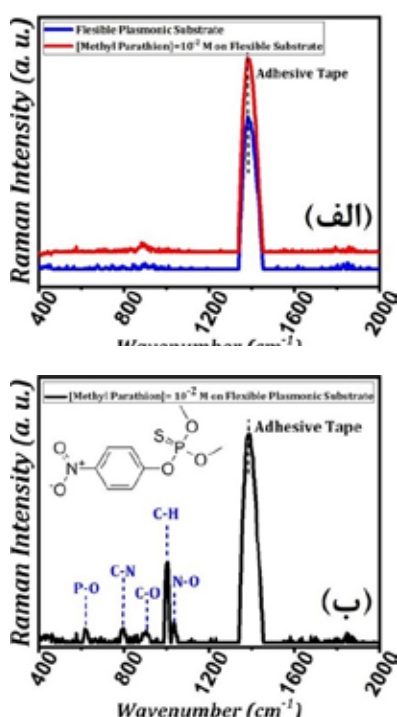
شکل ۵-الف و ب، به ترتیب تصویر AFM دو بعدی و سه بعدی بسترهای انعطاف‌پذیر پلاسمونیکی را نشان می‌دهد. با استفاده از نرم‌افزار Image Plus، (نسخه ۲.۹) میانگین زیری $23/6$ نانومتر، میانگین مرتفع‌ترین زیری $88/8$ نانومتر و میانگین عمیق‌ترین زیری $16/9$ به دست



شکل ۴: تصویر FESEM (الف) بسترهای انعطاف‌پذیر (چسب دوطرفه شفاف) و (ب) بستر انعطاف‌پذیر پلاسمونیکی که به روش قطره‌چکانی محلول کلوریدی نقره بر روی چسب دوطرفه ساخته شده‌اند.

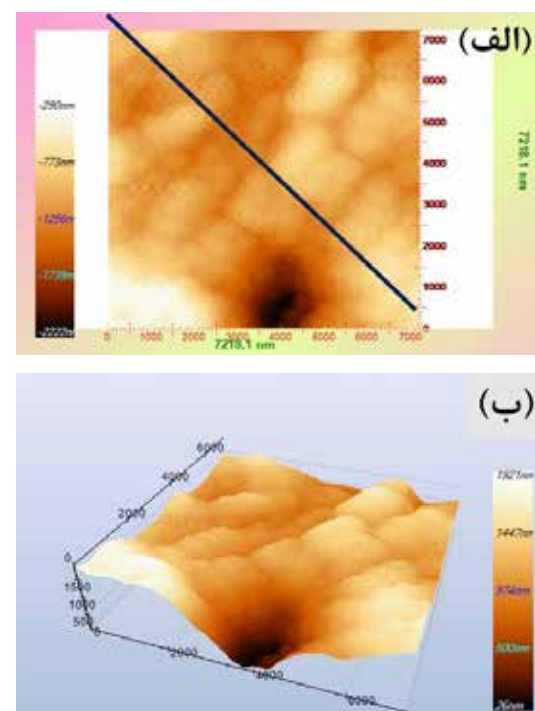
شکل ۷، طیف SERS، آفت کش متیل پاراتیون با غلظت های 3×10^{-4} ، 5×10^{-5} و 6×10^{-6} مولار لایه نشانی بروی بستر انعطاف پذیر پلاسمونیکی را نشان می دهد. با کاهش غلظت آفت کش متیل پاراتیون، شدت قله های ارتعاش های مولکولی آن کاهش می باید که به دلیل کاهش تعداد مولکول های آفت کش متیل پاراتیون و درنتیجه کاهش تعداد ارتعاش های مولکولی آن است به گونه ای که در غلظت های کمتر از 5×10^{-5} مولار، ارتعاش های خمثی C-H به راحتی قابل مشاهده نیستند. بنابراین بستر انعطاف پذیر پلاسمونیکی معرفی شده می تواند تا غلظت 5×10^{-6} مولار از آفت کش متیل پاراتیون را شناسایی کند.

شکل ۸، منحنی کالیبراسیون است که منحنی تغییرات شدت قوی ترین سیگنال SERS یعنی ارتعاش مولکولی C-H در عدد موج 1000 cm^{-1} را بر حسب تغییرات لگاریتمی غلظت متیل پاراتیون، C، نشان می دهد که با برازش انجام شده از رابطه $I = 851/6 C + 50.57/2$ ($R^2 = 0.97$) آن برابر با 0.97 پیروی می کند رابطه خطی است و ضریب رگرسیون (R^2) آن برابر با 0.97 است. از آنجاکه هدف از ساخت حسگر زیستی SERS، آشکارسازی غلظت بسیار پایین در نمونه های بیولوژیکی و محیطی است، خطی بودن منحنی کالیبراسیون غلظت های پایین از اهمیت بیشتری برخوردار است که در این مطالعه قابل مشاهده است و می توان با استفاده از این نمودار با مشاهده شدت قله ارتعاشی مولکول C-H در طیف رامان، غلظت آن را بدست آورد.



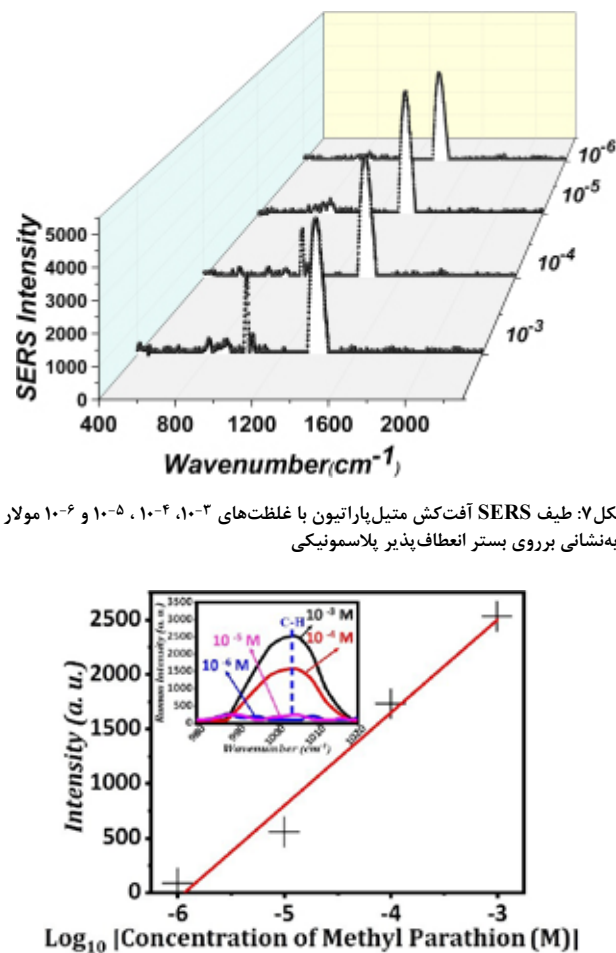
شکل ۶: طیف رامان (الف)، بستر انعطاف پذیر پلاسمونیکی و آفت کش متیل پاراتیون با غلظت 10^{-3} مولار لایه نشانی شده بروی بستر انعطاف پذیر غیر پلاسمونیکی، (ب)، آفت کش متیل پاراتیون با غلظت 2×10^{-4} مولار لایه نشانی بروی بستر انعطاف پذیر پلاسمونیکی

متیل پاراتیون با غلظت 2×10^{-4} مولار و با استفاده از طیفسنجی رامان و به کار نگرفتن بسترهای پلاسمونیکی امکان پذیر نیست. ارتعاش های مولکولی و ساختار مولکولی آفت کش متیل پاراتیون نیز در شکل ۶ ب نمایش داده شده است. ارتعاش های کششی C-N، خمثی P-O، خمثی C-H، کششی C-O، خمثی C-H و کششی N-O به ترتیب در 797 ، 619 ، 505 و 1001 cm^{-1} ظاهر می شوند [۲۳]. معمولاً در دماهای پایین، با از بین رفتن افت و خیزهای حرارتی، ارتعاش هایی که به خصوص در عدموج های کمتر اتفاق می افتد نیز قابل آشکارسازی می شوند [۲۴]، بنابراین به این دلیل که طیفسنجی در دمای اتاق انجام شده است، بهبود طیف رامان و درنتیجه مشاهده ارتعاش های مولکولی آفت کش متیل پاراتیون به دلیل اثر میدان الکتریکی قوی در اطراف نانوذرات و پراکنده گی نور از ترکها و زبری که روی پوشش طلا ایجاد شده است، می باشد. با تابش نور لیزر، تشدید پلاسمون های سطحی اتفاق می افتد و نوسان الکترون های آزاد فلز، میدان های الکتریکی قوی در نواحی کوچکی در اطراف نانوذرات ایجاد می کند. بنابراین نانوذرات بهمانند لنز نوری عمل می کنند و نور لیزر فرودی را در فضای کوچکی اطراف خود متتمرکز می کنند و شدت میدان الکتریکی در نزدیکی نانوذرات افزایش می باید و با قرار گیری آفت کش متیل پاراتیون در اطراف نانوذرات، این ماده چگالی ارتعاش های مولکولی آن ها تقویت می شود و شاهد سیگنال های ارتعاشی باشد بالاتر هستیم [۲۴ و ۲۵].

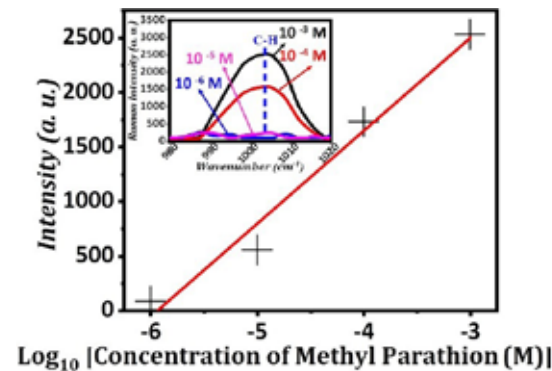


شکل ۵: تصاویر AFM، (الف)، دوبعدی و (ب)، سه بعدی بسترهای انعطاف پذیر پلاسمونیکی

طلا برروی بسترهای انعطاف‌پذیر یا همان چسب دوطرفه شفاف لایه‌نشانی شدند و این بسترهای به عنوان بسترهای انعطاف‌پذیر پلاسمونیکی جهت آشکارسازی آفتکش متیلپاراتیون برروی سطوح میوه سبب استفاده شدند. از ویژگی این بسترهای این است که برداشت سموم و قرار دادن آن برروی بستر انعطاف‌پذیر پلاسمونیکی به طور همزمان انجام می‌شود. با کاهش غلظت آفتکش متیلپاراتیون قرارداده شده برروی میوه سبب، سیگنال رامان آن نیز کاهش می‌باید که بسترهای انعطاف‌پذیر پلاسمونیکی قادر به شناسایی متیلپاراتیون تا غلظت 10^{-5} مولار هستند. بهبود سیگنال رامان متیلپاراتیون ناشی از تشديد پلاسمون‌های سطحی نانوذرات طلا که با دریافت نور لیزر فرودی، نور را در منطقه کوچکی در اطراف خود متتمرکز می‌کنند و با قرارگیری آفتکش متیلپاراتیون در این مناطق و درنتیجه به دلیل دریافت میدان الکتریکی قوی‌تر و یا رسیدن نور حاصل از پراکندگی از نقاط زبر پوشش طلا یا ترک‌های این پوشش، مولکول‌های سازنده متیلپاراتیون قطبیده‌تر می‌شوند و درنتیجه ارتعاش‌های شدیدتری ظاهر می‌شوند. هرچند بسترهای انعطاف‌پذیر، توانایی شناسایی از مزایای بستر انعطاف‌پذیر پلاسمونیکی معرفی شده، استفاده آسان و توانایی تشخیص سریع غلظت‌های اندک است که برای ساخت آن نیز هزینه چندانی صرف نمی‌شود و با آن‌ها می‌توان انواع سموم، پاتوژن‌های موجود در مواد غذایی و مواد بیولوژیکی را شناسایی کرد.



شکل ۷: طیف SERS آفتکش متیلپاراتیون با غلظت‌های 10^{-3} ، 10^{-4} ، 10^{-5} و 10^{-6} مولار لایه‌نشانی برروی بستر انعطاف‌پذیر پلاسمونیکی



شکل ۸: منحنی کالیبراسیون تغییرات شدت، I، قوی‌ترین سیگنال SERS مربوط به ارتعاش C-H در عدد موج 1001 cm^{-1} ، برحسب تغییرات لگاریتمی غلظت آفتکش متیلپاراتیون، C، داخل شکل همان طیف SERS نمایش داده شده در شکل ۷ برای غلظت‌های مختلف (منحنی مشکی) 10^{-3} مولار، (منحنی قرمز) 10^{-4} مولار، (منحنی صورتی) 10^{-5} مولار و (منحنی آبی) 10^{-6} مولار از آفتکش متیلپاراتیون قرارداده شده برروی بستر انعطاف‌پذیر پلاسمونیکی است که فقط در بازه $1020\text{--}980\text{ cm}^{-1}$ نمایش داده شده است.

نتیجه‌گیری

به‌منظور شناسایی و کنترل بیماری‌های متعدد ناشی از آفتکش متیلپاراتیون، تشخیص آفتکش متیلپاراتیون برروی سطوح محصولات کشاورزی دارای اهمیت است. روش طیفسنجی رامان روشنی غیرمخرب برای شناسایی مولکول‌ها است اما به دلیل ضعیف بودن سیگنال رامان، عملاً شناسایی غلظت‌های اندک از مولکول‌ها امکان‌پذیر نیست. با قرار دادن آفتکش متیل‌پاراتیون در معرض تشیدید پلاسمون‌های سطحی نانوذرات فلزی مانند طلا و همچنین نور پراکنده شده از ذرات بزرگ فلزی، می‌توان سیگنال رامان را بهبود داد. بنابراین ابتدا نانوذرات طلا با استفاده از احیای شیمیایی نمک طلا ساخته شدند و درآدامه با به‌کارگیری روش قطره‌چکان که روشنی ساده، سریع و ارزان است، در دمای اتاق، نانوذرات

References:

1. Pablos Espada MC, Arrebola-Liebna FJ, Garrido-Frenich A. Analysis of Pesticides in Water Samples Using GC-ECD and GC-MS/MS Techniques. International Journal of Environmental Analytical Chemistry. 1999; 75: 165-79.
2. Lee D, Lee S, Seong GH. Quantitative Analysis of Methyl Parathion Pesticides in a Polydimethylsiloxane Microfluidic Channel Using Confocal Surface-Enhanced Raman Spectroscopy. Applied Spectroscopy. 2006; 60: 373-7.
3. Patsias J, Papadopoulou-Mourkidou EJ. Rapid method for the analysis of a variety of chemical classes of pesticides in surface and ground waters by off-line solid-phase extraction and gas chromatography-ion trap mass spectrometry. Journal of Chromatography. 1996; 740: 83-98.
4. Goncalves C, Alpendurada MF. Solid-phase micro-extraction-gaschromatography-(tandem) mass spectrometry as a tool for pesticide residue analysis in water samples at high sensitivity and selectivity with confirmation capabilities. Journal of Chromatography. 2004; 1020: 239-50.
5. Papadopoulou-Mourkidou E, Patsias JJ. Development of a semi-automated high-performance liquid chromatographic-diode array detection system for screening pesticides at trace levels in aquatic systems of the Axios River basin. Journal of Chromatography. 1996; 726: 99-113.
6. Naidu UV, Gangaiah T, Ramadevi P. Photometric determination of malathion with molybdenum. Tantala. 1990; 37: 761-2.
7. Hart AL, Collier WA, Janssen D. The response of screen-printed enzyme electrodes containing cholinesterases to organophosphates in solution and from commercial formulations. Biosensors and Bioelectronics. 1997; 12: 645-54.
8. Skoulika SG, Georgiou CA. Univariate and Multivariate Calibration for the Quantitative Determination of Methyl-parathion in Pesticide Formulations by FT-Raman Spectroscopy. Applied Spectroscopy. 2000; 54: 747-52.
9. Sato-Berru RY, Medina-Valtierra J, Medina Gutierrez C. Quantitative NIR-Raman analysis of methyl-parathion pesticide microdroplets on aluminum substrates. Spectrochimica Acta Part A: Molecular and Biomolecular Spectroscopy. 2004; 60: 2231-4.
10. Alak-Ala M, Vo-Dinh T. Surface-enhanced Raman spectrometry of organo phosphorus chemical agents. ACS Publication Analytical Chemistry. 1987; 59: 2149-53.
11. Ivanov AN, Evtyugin GA, Brainina KZ. Cholinesterase Sensors Based on Thick-Film Graphite Electrodes for the Flow-Injection Determination of Organophosphorus Pesticides Journal of Analytical Chemistry. 2002; 57: 1042-8.
12. Alizadeh T. High Selective Parathion Voltammetric Sensor Development by Using an Acrylic Based Molecularly Imprinted Polymer-Carbon Paste Electrode. Electroanalysis. 2009; 21: 1490-8.
13. Duan N, Chang B, Zhang H. Salmonella typhimurium detection using a surface-enhanced Raman scattering-based aptasensor. International Journal Food Microbiology. 2016; 218: 38-43.
14. Wang LR, Fang Y. IR-SERS study and theoretical analogue on the adsorption behavior of pyridine carboxylic acid on silver nanoparticles. Spectrochimica Acta Part A: Molecular and Biomolecular Spectroscopy. 2006; 63: 614-8.
15. Ren B, Liu GK, Lian XB. Raman spectroscopy on transition metals. Analytical and bioanalytical chemistry. 2007; 388: 29-45.
16. Matricardi C, Hanske C, Garcia-Pomar JL. Gold Nanoparticle Plasmonic Superlattices as Surface-Enhanced Raman Spectroscopy Substrates. ACS Nano. 2018; 12: 8531-9.
17. Lin KQ, Yi J, Hu S, Liu BJ. Size effect on SERS of gold nanorods demonstrated via single nanoparticle spectroscopy. The Journal of Physical Chemistry C. 2016; 120: 20806-13.
18. Ngumbi PK, Mugo SW, Ngaruiya JM. Determination of Gold Nanoparticles Sizes via Surface Plasmon Resonance. IOSR Journal of Applied Chemistry (IOSR-JAC). 2018; 11: 25-9.
19. Tarik Baytekin H, Baytekin B, Huda S. Mechanochemical Activation and Patterning of an Adhesive Surface toward Nanoparticle Deposition. Journal of the American Chemical Society. 2015; 137: 1726-9.
20. Bohren CF, Huffman DR. Absorption and Scattering of Light by Small Particles, 306. Wiley: New York. 1983: 625.
21. Wang LR, Fang Y. IR-SERS study and theoretical analogue on the adsorption behavior of pyridine carboxylic acid on silver nanoparticles. Spectrochimica Acta Part A: Molecular and Biomolecular Spectroscopy. 2006; 63: 614-8.
22. Canamares MV, Garcia-Ramos JV, Sanchez-Cortes S. Comparative SERS effectiveness of silver nanoparticles prepared by different methods: A study of the enhancement factor and the interfacial properties. Journal of colloid and interface science. 2008; 326: 103-9.
23. Lee D, Lee S, Seong G. Quantitative Analysis of Methyl Parathion Pesticides in a Polydimethylsiloxane Microfluidic Channel Using Confocal Surface-Enhanced Raman Spectroscopy. APPLIED SPECTROSCOPY. 2006; 60: 373-7.
24. Surovtsev NV, Adichtchev SV, Malinovsky VK. Glycine phases formed from frozen aqueous solutions: Revisited. THE JOURNAL OF CHEMICAL PHYSICS. 2012; 137: 065103.
25. Chen HY, Lin MH, Wang CY. Large-scale hot spot engineering for quantitative SERS at the single-molecule scale. Journal of the American Chemical Society. 2015; 137: 13698-705.
26. Granger JH, Schlotter NE, Crawford AC. Prospects for point-of-care pathogen diagnostics using surface-enhanced Raman scattering (SERS). Chemical Society Reviews. 2016; 45: 3665-82.